

Figura 1B. Estatus mutacional por PCR específica y secuenciación

SS-PCR Specific Sequence PCR

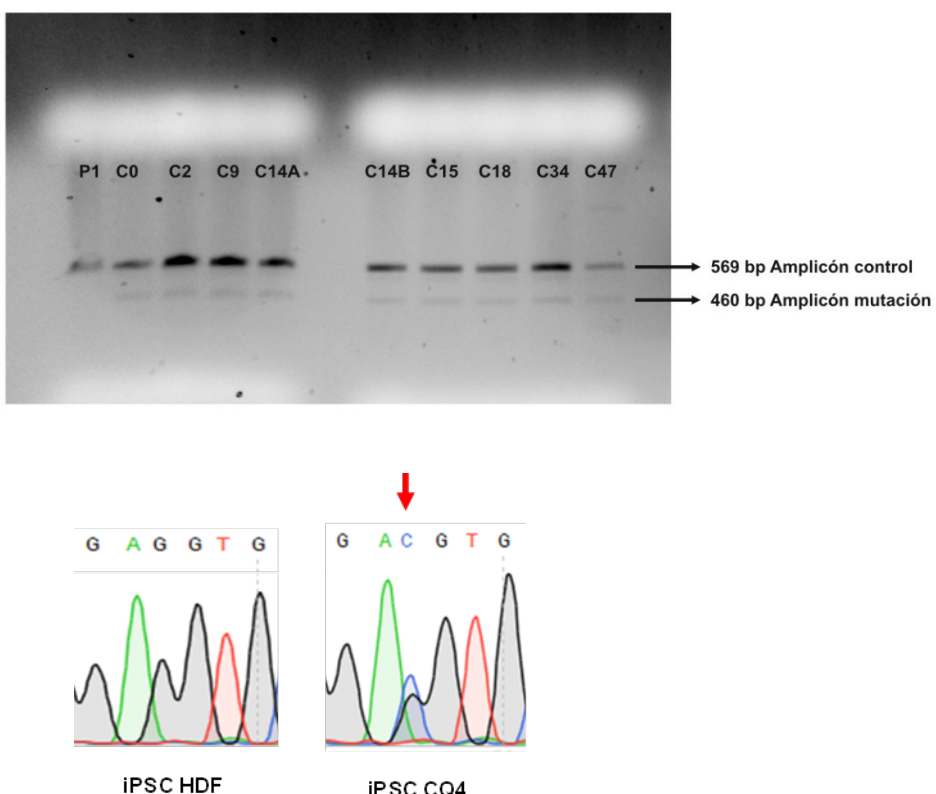


Figura 2. Cariotipo

iPSC CQ4 Genetically corrected

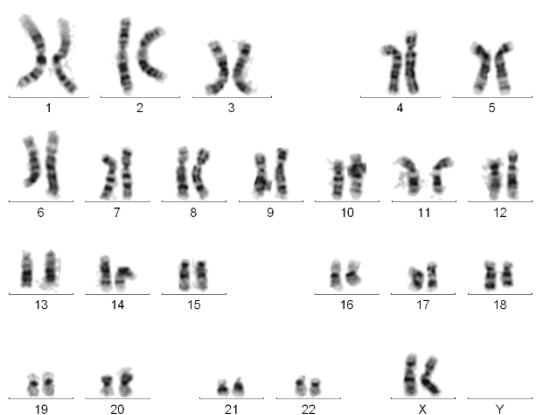


Figura 3. Morfología campo claro

iPSC CQ4 Genetically corrected

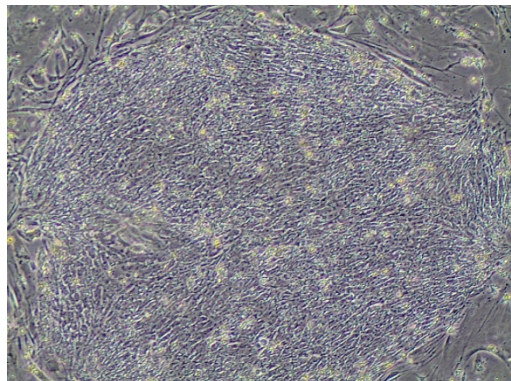


Figura 4. PCR Micoplasma

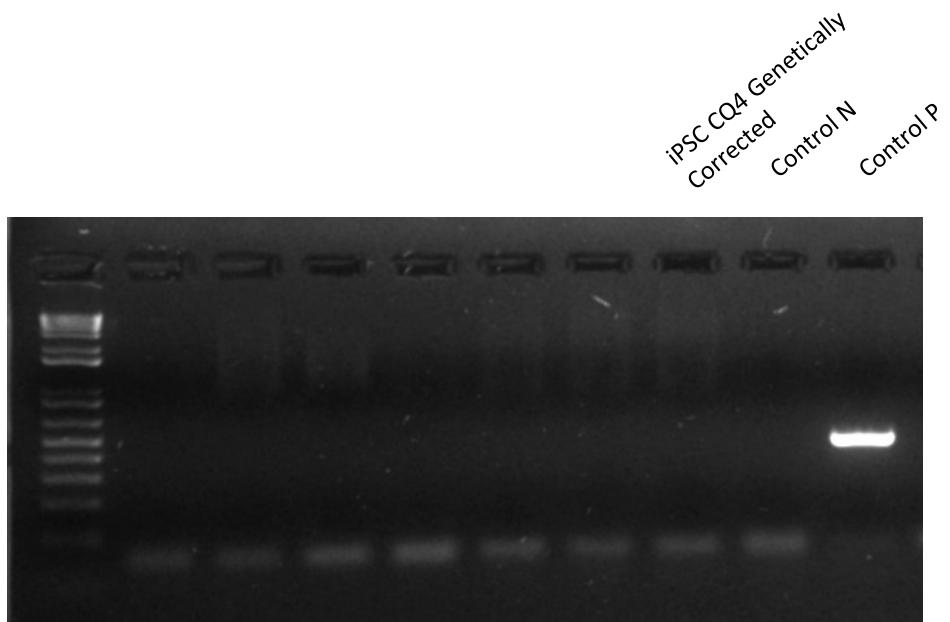


Figura 5. PCR y citometría para marcadores de pluripotencia

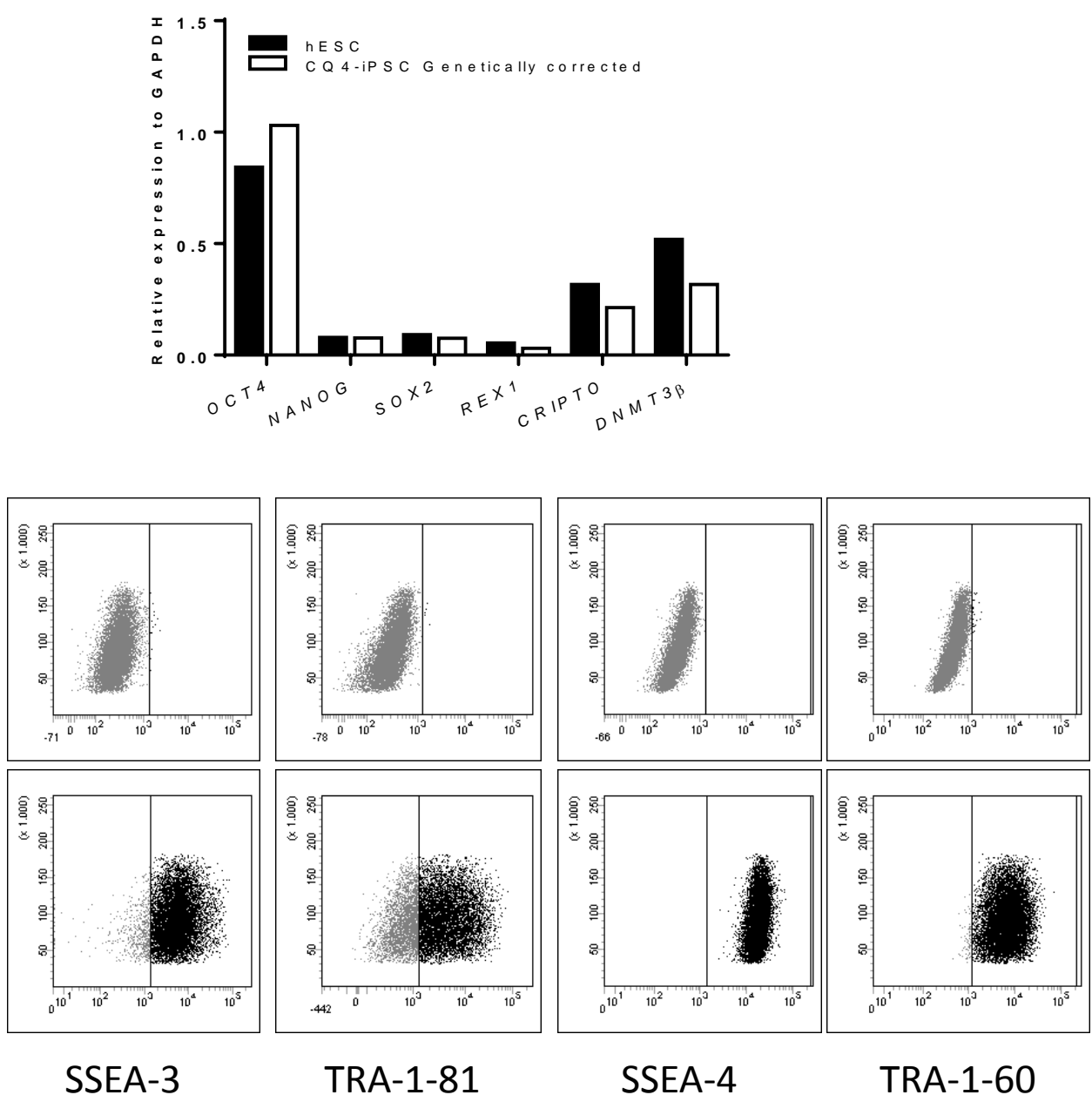


Figura 6. Diferenciación *in vitro*

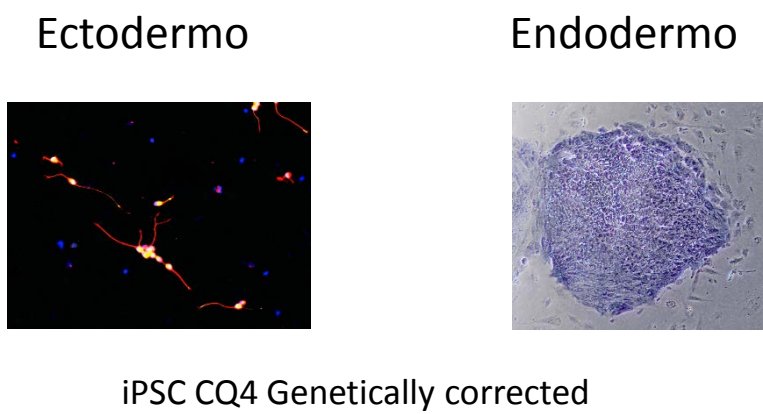


Figura 7. Diferenciación *in vivo* - Teratoma

iPSC CQ4 C34

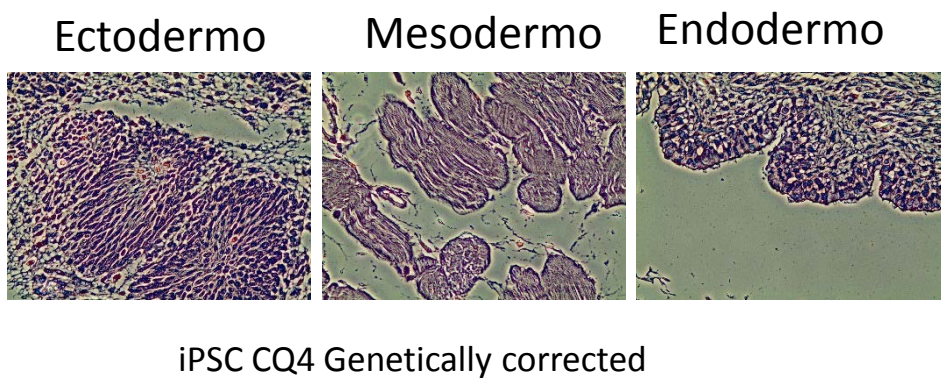


Figura 8. Demetilación de los promotores de Nanog y Oct-4

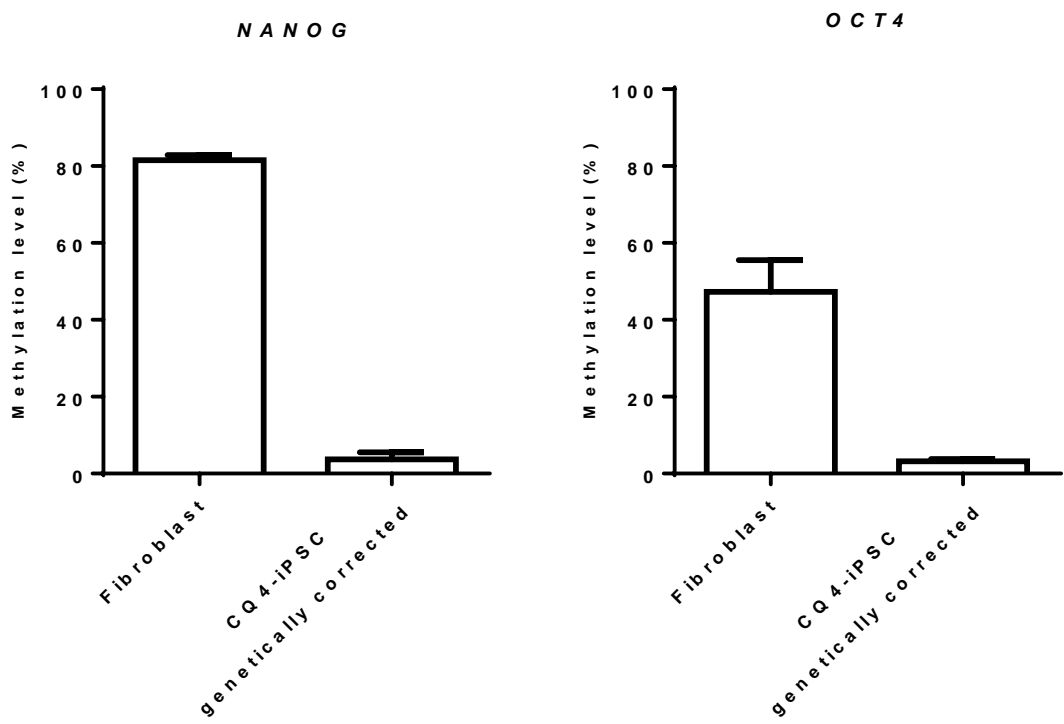
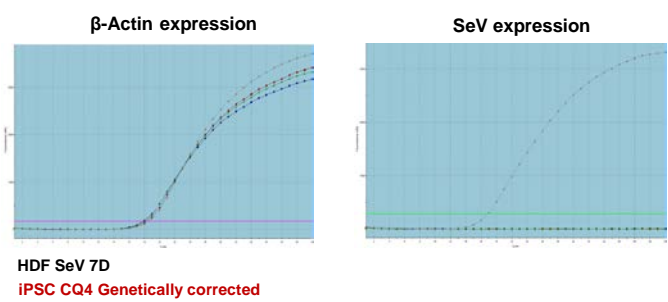
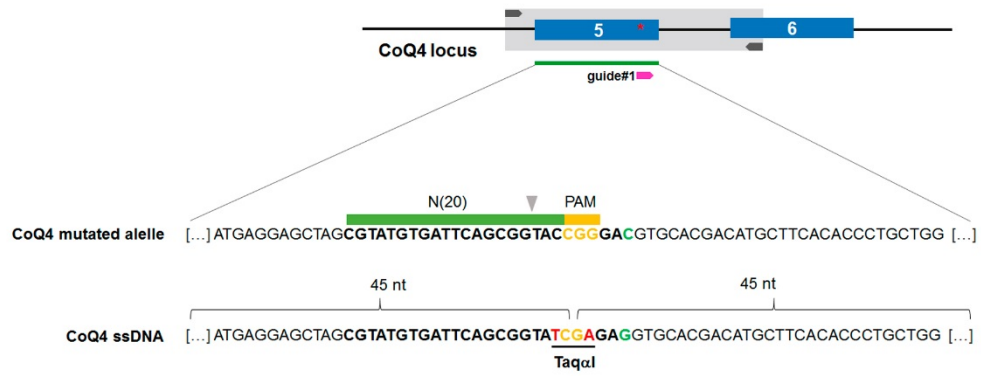
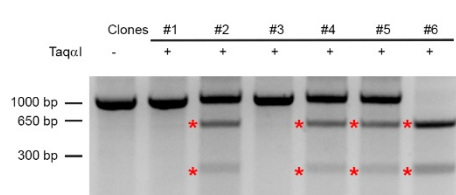
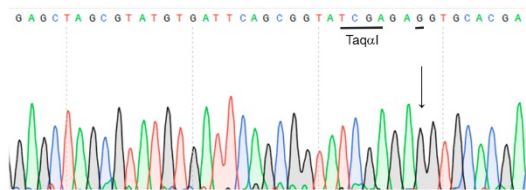


Figura 9. Eliminación del Sendai Virus



A**B****C****D**